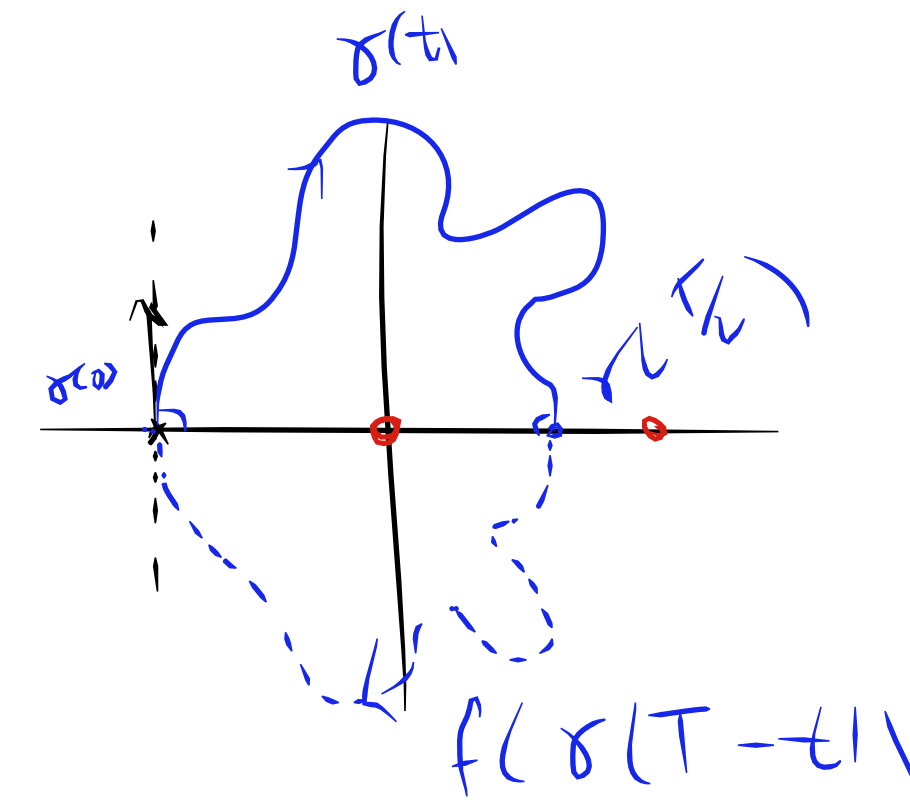


El proceso arriba simplifica considerablemente en tomando ventaja de una simetría discreta de RC3BP.

$$f : (Q, P) \mapsto (\bar{Q}, -\bar{P})$$

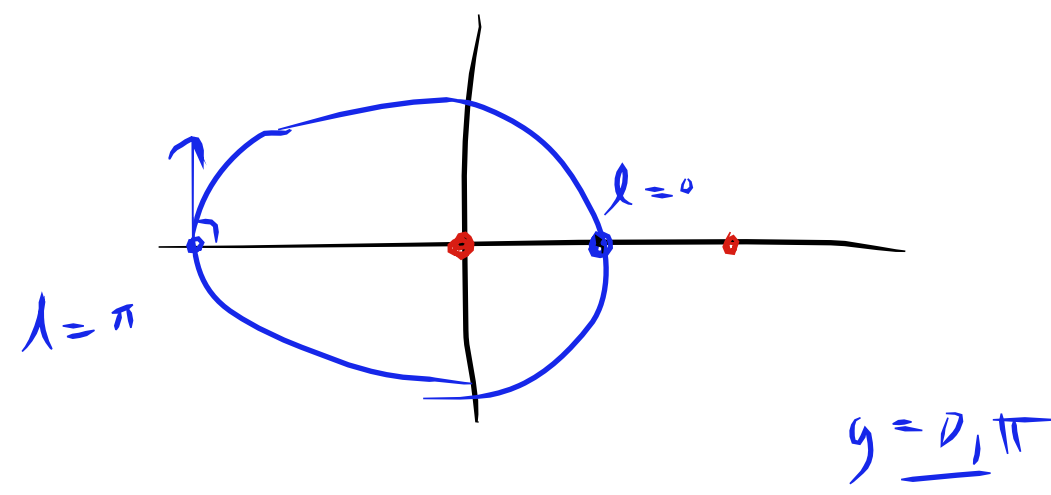
Tenemos:
 $H \circ f = H$
 $f^* \omega = -\omega$ (f reversa tiempo, es decir envía X_H a $-X_H$)

$$\pi(t) = \begin{cases} \gamma(t) & : t \in (0, T/2) \\ f(\gamma(T-t)) & : t \in (T/2, T) \end{cases}$$

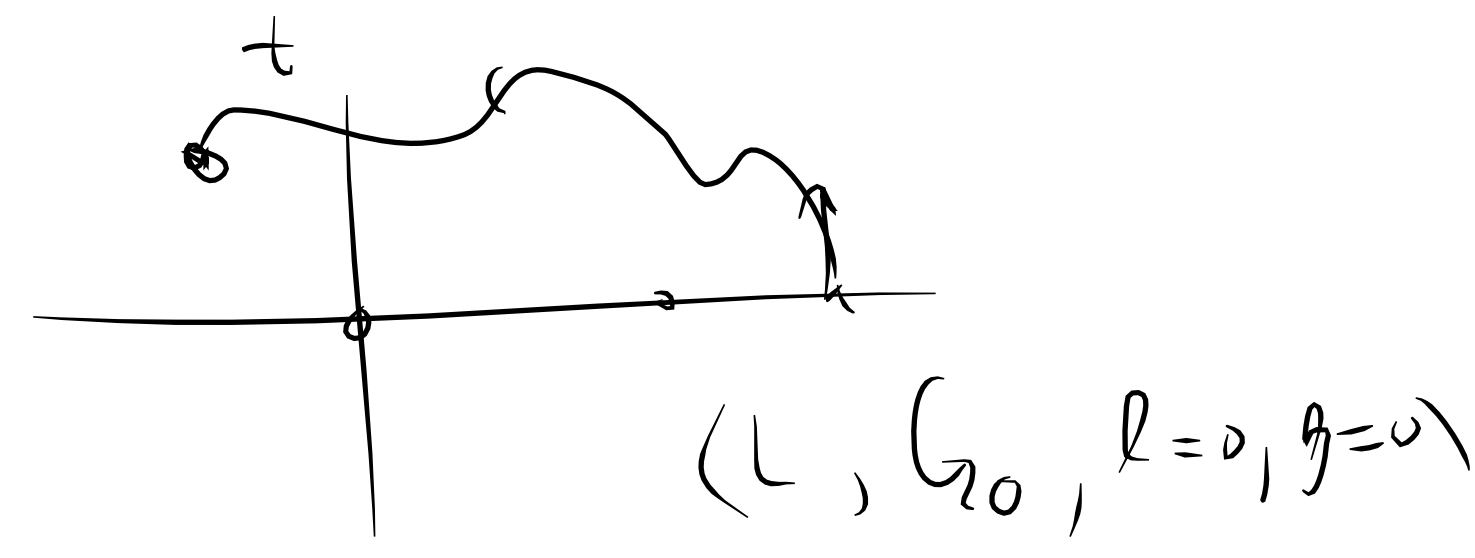


Entonces, si $\gamma(t)$ es una solución al RC3BP también es $f(\gamma(-t))$.

* en particular, si encontramos una solución $\gamma(t)$ con $\gamma(0), \gamma(T/2) \in \text{fix}(f)$ entonces se conduce a una órbita periódica.



* en coordenadas de Delaunay, los puntos de $\text{fix}(f)$ son los con:
 (L, G) arbitraria
 $(\ell, g) \equiv 0 \pmod{\pi}$



$$H_0 = -\frac{1}{2} \frac{1}{L^3} - G$$

Consideramos una órbita periódica cuando $\mu = 0$:
 $(L, G) = (L_0, G_0) = \text{cst.}$
 $(\ell, g) = \left(\frac{t}{L_0^3}, -t \right)$
 es periódica cuando $\frac{1}{L_0^3} = \frac{m}{n}$ es racional.

$$\ell(T/2) = \pi m$$

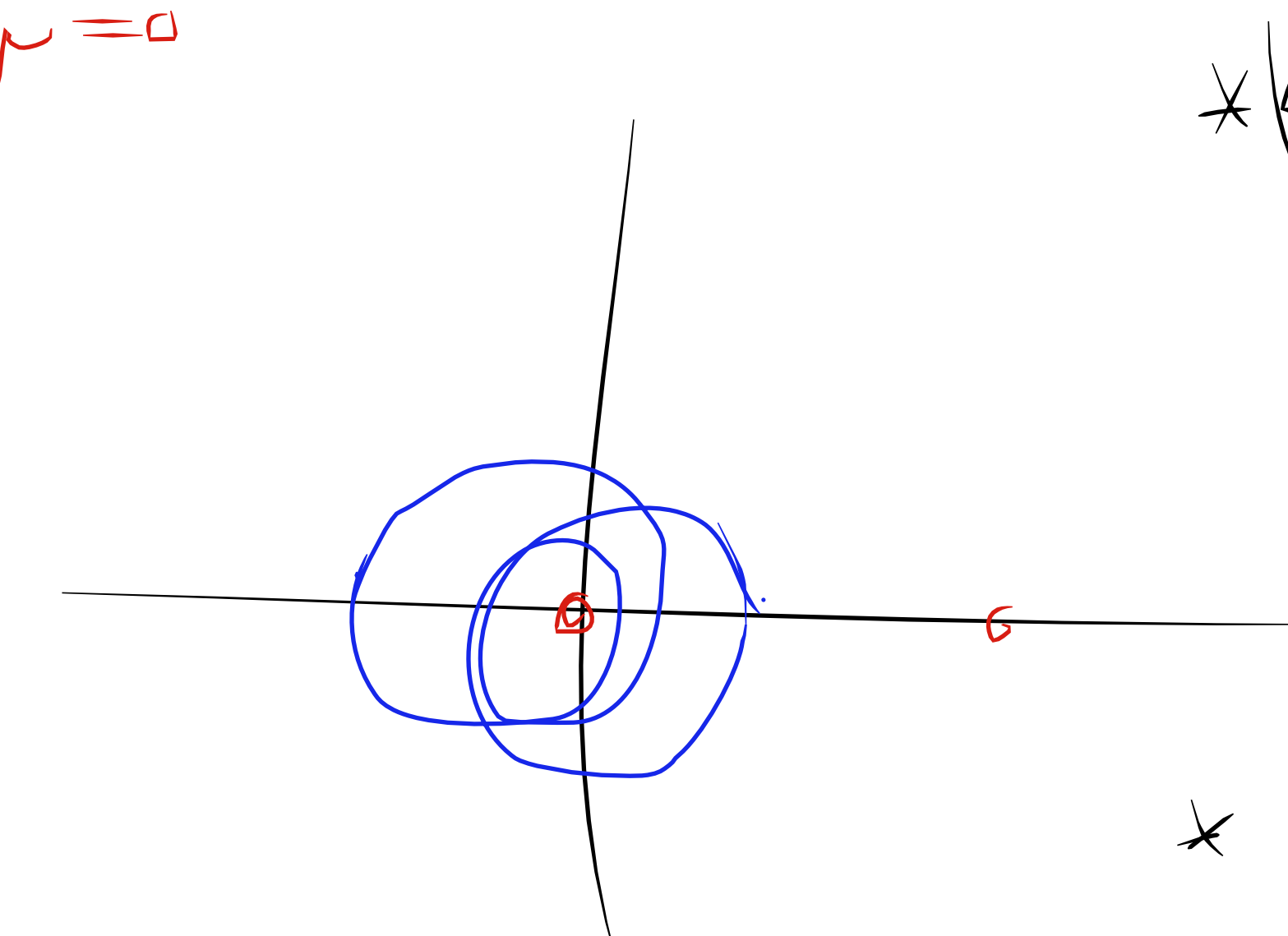
$$g(T/2) = -\pi n$$

* el periodo es $T = 2\pi n$ *

La condición inicial esta en $\text{fix}(f)$ ($\ell = g = 0$), y por tiempo $\frac{T}{2}$, también estamos en $\text{fix}(f)$ ($\ell = \pi m, g = -\pi n$).
 Manteniendo G_0 fijado, tenemos una aplicación P que envíe (L, t, μ) al punto después tiempo t de la trayectoria con condición inicial $(L, G_0, 0, 0)$ de H_μ .

$$P(L_0, \frac{T}{2}, 0) \in \text{fix}(f)$$

$$P(L, t, 0) = \left(\frac{t}{L^3}, -t \right)$$



* K. Meyer - Periodic Sols in N-body probs *

* Meyer, Offin, Hall - Ham. meth....

Sabemos $L = L_0, t = \frac{T}{2}, \mu = 0$ aterriza por $\text{fix}(f)$.
 Si el diferencial de $P(L, t, 0)$ por $L_0, \frac{T}{2}$ es invertible, entonces IFT implica que existe soluciones de $P(L_\mu, \frac{T}{2}, \mu) \in \text{fix}(f)$ para $0 \leq \mu \ll 1$.

Calculamos que

$$dP(L_0, \frac{T}{2}, 0) = \begin{pmatrix} -\frac{3T}{2L_0^3} & \frac{1}{L_0^3} \\ 0 & -1 \end{pmatrix}$$

que es invertible!

Aplicaciones de corrimiento

Sea $\Sigma = \{ \dots, s_{-1}, s_0, s_1, s_2, \dots \}$ todas secuencias de 0 y 1

$$\dots s_{-1}, s_0, s_1, s_2, \dots$$

$$\downarrow \sigma$$

$$\dots s_0, s_1, s_2, s_3, \dots$$

$$s_0, \sigma(s_0), \sigma^2(s_0), \dots$$

"L-uti el"
 dense per. orb

$$N = \max_{m} \{ s_j = s'_i \mid |i-m| < m \}$$

$$d(s, s') = \frac{1}{2^m}$$

La aplicación de corrimiento (a la izquierda)
 $\sigma : \Sigma \rightarrow \Sigma$
 envíe $\{s_j\}$ a $\{s_{j-1}\}$

La dinámica de σ es impredecible. Es decir, si grabamos las entradas al lado del \cdot en iterando σ , estas grabaciones no dicen nada de que va a pasar proxima.

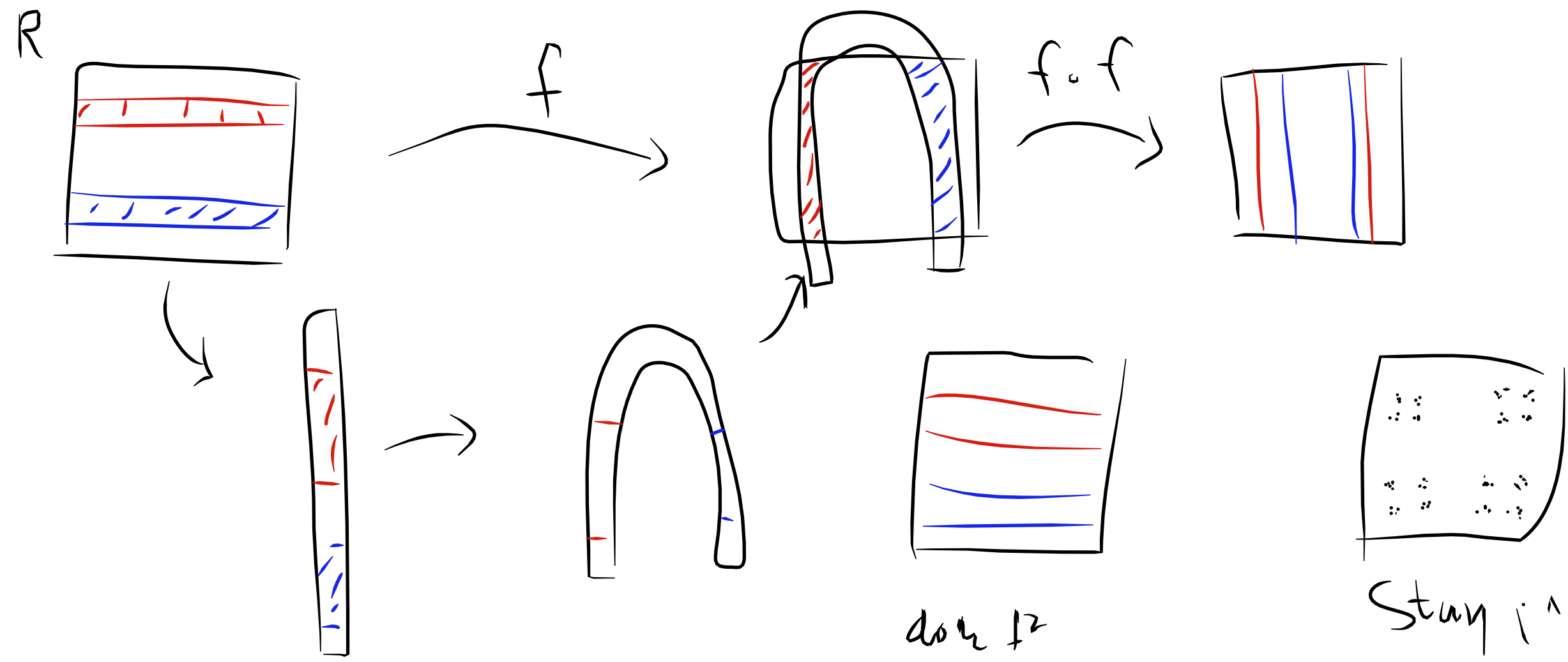
Herradura de Smale

Consideramos un rectángulo, R , y una aplicación $f : R \rightarrow R$
 * el dominio y rango de este aplicación no son todo de R *

Existe puntos de R que quedan en R bajo todos iteraciones de f

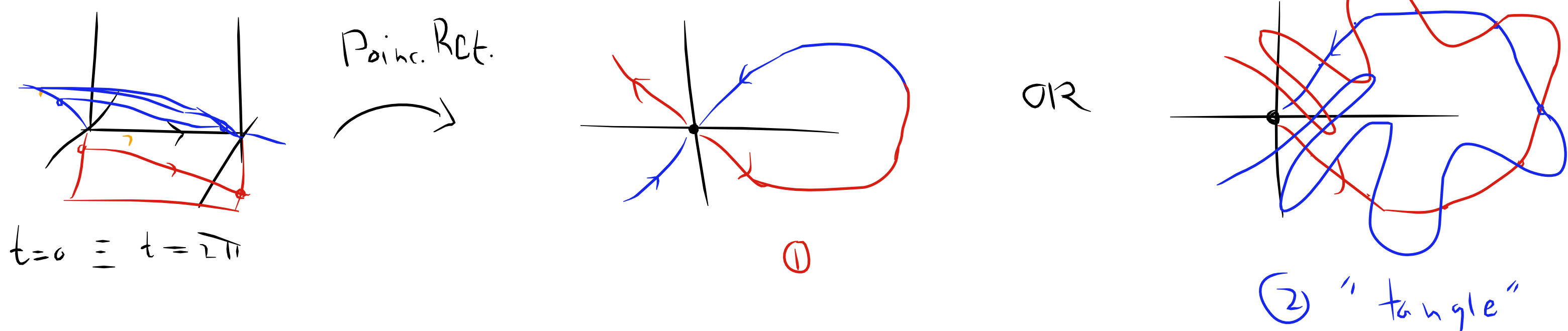
Tales puntos, x , uno puede encodar por escribiendo una secuencia de ceros y unos determinada por ($j > 0$):
 $s_j = 0$, si $f^j(x)$ en lado izquierda
 $s_j = 1$, si $f^j(x)$ en lado derecha

Con este identificación, la dinámica de puntos bajo f es el mismo como la de la aplicación del turno.

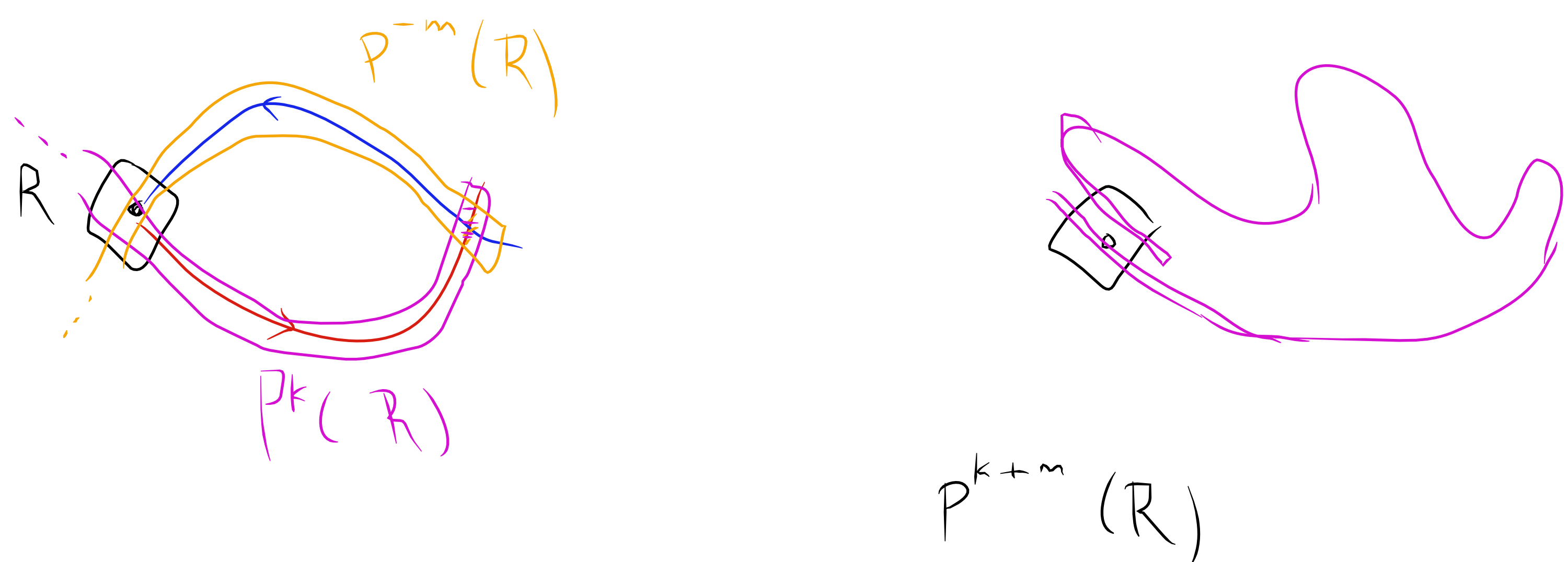


Intersecciones homoclinica

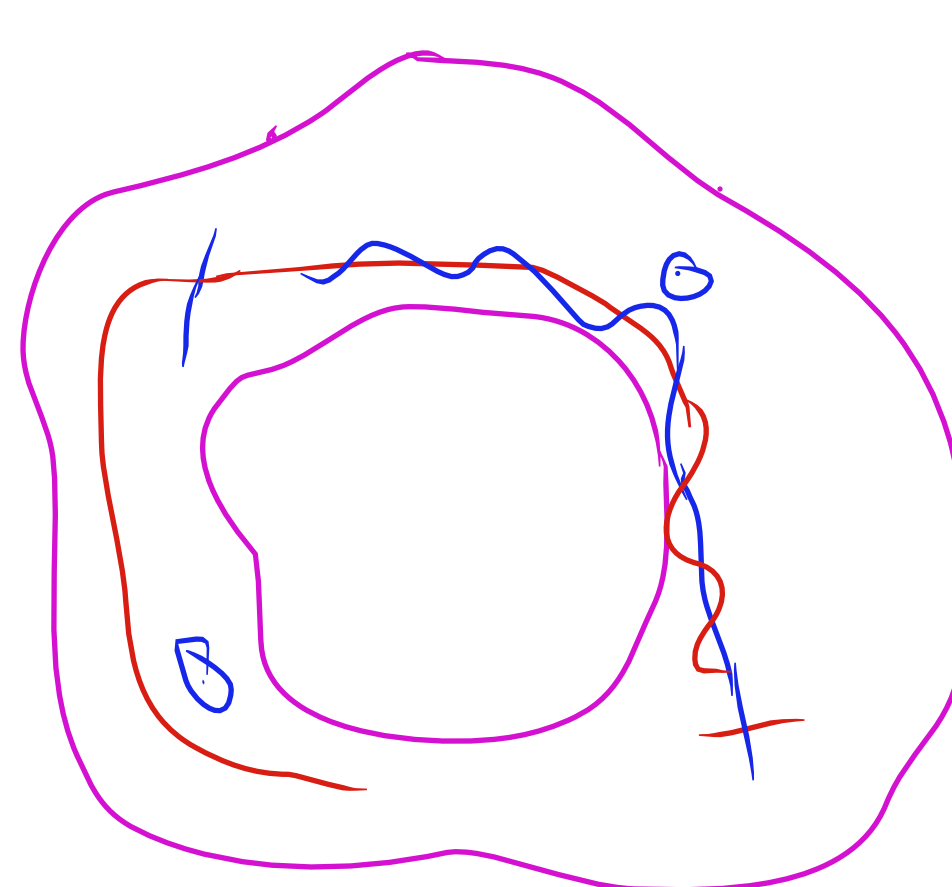
Considera una órbita periódica inestable, en una sistema con dos grados de libertad.



Si las variedades estable e inestable de una órbita periódica interseccion transversalmente, conduce a un enredo homoclinica. Además, implica que la mapa de Poincaré tiene un subconjunto en que comparte como el pato de caballo - es decir impredecible!



"gen" nature pert. int. syst"



$$\| H(I) + \epsilon H_1(I, \theta) \|$$

